

II - 6.1 ゲートにおける空気吸込に関する一考察

日立造船技術研究所

工博 中島康吉

正員

○巻幡敏秋

要旨： 放水路すり（傍）道を有するゲートにおける空気吸込現象は従来流れの跳水現象による空気吸込が考えられ、空気吸込に関する実験式が示されてい。しかしながら著者が実験した模型実験および入手し得た実物実験の結果などと十分の一一致が認められなかったので、本研究はすり道内の流水面上に発達する空気の境界層にもとづく空気吸込現象を考え理論的な考察を加え実験値との比較を行なつた。

1. 理論的考察： 空気管の入口と空気管出口（ゲート室）とにおける圧力降下がわざりゲート室の気圧がほぼ大気圧に等しいと考えられる場合には放水路すり道内の空気は非圧縮性流体、すなれど大気と同様を取り扱いができるので大気の運動方程式が成立する。

大気の運動方程式を放水路すり道内の空気流の現象に適用するため、2次元を考える。流水面からあまり大きく離れていない距離のところでは空気の乱れは統計的に等方性になつてゐることが G.I. Taylor によつて見出されてゐる。

この場合の運動方程式は次式に示してあるように2次元の Navier-Stokes の方程式、すなわち層流境界層内における運動方程式と同形にある。したがつて得られる解は形式的には層流境界層の解とまったく一致する。

$$\begin{aligned} \frac{\partial u}{\partial t} + u \frac{\partial u}{\partial x} + w \frac{\partial u}{\partial z} &= -\frac{1}{\rho} \frac{\partial p}{\partial x} + K \left(\frac{\partial^2 u}{\partial x^2} + \frac{\partial^2 u}{\partial z^2} \right) \\ \frac{\partial w}{\partial t} + u \frac{\partial w}{\partial x} + w \frac{\partial w}{\partial z} &= -\frac{1}{\rho} \frac{\partial p}{\partial z} + K \left(\frac{\partial^2 w}{\partial x^2} + \frac{\partial^2 w}{\partial z^2} \right) \\ \frac{\partial u}{\partial x} + \frac{\partial w}{\partial z} &= 0 \end{aligned} \quad (1)$$

ここに u, w は x, z 軸方向の分速度、 ρ は空気の密度、 K はうす（渦）動粘性係数で $K = K_x = K_z$ である。なお簡単にするため地球の自転によつて流体に働く Coriolis の力は省略してある。

流水面を又、その鉛直方向を z としてすり道内の流水表面を用ひる理論流速で動かしてある平板を考えると流水面上の空気は粘性のために流水面の流速と同一にならうとする現象（運動量の拡散）が起り流水面上の空気は z の速度で運び去られることになる。またこの現象と同時に流水面は固体の平板ではなく相当量の水の帯まつ（沫）が流水面上の空気流に拡散されている。この拡散が空気の拡散に支配されたりるものとすれば空気の流速分布と同様に水の帯まつの濃度分布に境界層理論の解を適用することができる。この拡散により空気による水の拡散と水による空気の拡散とが同程度であると考えると運び去られた理論空気量 Q_a は次式によつて与えられる。

$$Q_a = B \left\{ \int_0^{\delta} (1-\sigma) u' dz + \int_0^{\delta} \sigma w' dz \right\} \quad (3)$$

ここに B は放水路の幅、 δ は $x=L$ すなわちすり道の出口における境界層の厚さ、 σ は単位体積中に含まれる水の帯まつの濃度で、単位体積中に含まれる空気は $1-\sigma$ である。

ところで境界層理論から求められるよりもすり道高さが小さい場合は

$$Q_a = B \left\{ \int_0^{\delta} (1-\sigma) u' dz + \int_0^{\delta} \sigma w' dz \right\} \quad (\delta > h) \quad (4)$$

で近似的に空気量が与えられるものとする。ここに $h = S_s - S_z$ で S_s はすり道の高さである。

層流境界層内、流速分布 U は一般に $U = U f(\eta) = U(2\eta - \eta^2)$ を η 値が採用される。ただし $\eta = \frac{y}{R}$ である。この場合体連に静止流体中を平板が運動する場合を考えると $U' = U - U_0$ となる。また水の拡散も同じ式で表わされるから U' 、または次式となる。

$$U' = U(1 - 2\eta + \eta^2), \quad \beta = 1 - 2\eta + \eta^2 \quad (5)$$

次に理論流量は $Q_w = U \cdot S \cdot B$ として示された關係から理論空気比 β は次式となる。

$$(3) \text{ 式から} \quad \beta = \frac{Q_a}{Q_w} = \frac{1}{SU} \int_0^L U' d\eta \quad (6)$$

(6)式に(5)式を代入して η の關係に置き換えると

$$\beta = \frac{1}{S} \left\{ \int_0^L (1 - 2\eta + \eta^2) d\eta \right\} = A \frac{L}{S} R_K^{-\frac{1}{2}} \quad (7)$$

(4)式からは同様に

$$\beta = \frac{1}{S} \left\{ \int_0^L (1 - 2\eta + \eta^2) d\eta \right\} = A' \frac{L}{S} R_K^{-\frac{1}{2}} \quad (8)$$

となる。ここに L は放水路までの長さ、 R_K はうす動粘性係数を用いたレイノルズ数、 $R_K = \frac{UL}{K}$ 、 A, A' は層流境界層内、流速分布を積分することによって得られる係数で $A = 1.83$ となる。

2 実験値との比較；(7)式を用いて実験値を整理し K を求めると模型では $6.44 \sim 9.07 \times 10^{-3} \text{ m}^2/\text{s}$ 、実物では $9.45 \times 10^{-2} \text{ m}^2/\text{s}$ が得られる。Richardson は多く測定値を整理した結果大気のうす動粘性係数 K と現象の大さき D との間に $K = 0.2 \sim 0.6 D^{3/4} \text{ cm}^2/\text{s}$ なる關係を見出している。また Sutton は $K \propto t^{3/4}$ なる關係を半実験的に求めている。ただしには拡散現象の行なわれる時間であり、 t と物体の大さきとは比例すると考えられるので Richardson の式も Sutton の式も互に似通った關係を示すものと言えよう。本研究で得られた K 値は Sutton が導き出している關係であった。Sutton の式を $K = \alpha D^{3/4}$ と置き換えて実験結果から α を求めると $\alpha = 8$ が得られる。故に放水路までの道内における空気のうす動粘性係数 K は一応模型、実物に対して $K = 8 D^{3/4}$ の式で推定できるようである。

実物実験および模型実験について

(7)(8)式から理論空気比 β を計算し実験値の空気比 β_{ex} と比較したのが図1である。 β と β_{ex} の關係は(6)式から明らかなように $\beta_{ex} = \beta_{cal} \cdot C_d$ と表わされる。図中より計算値と実験値との相違は $\frac{1}{C_d}$ の差となり、漏流係数 C_d の小さいうな流れとなるゲートではその差が大きくなるのである。

図1からわかるように理論式の近似度を考慮すれば本研究で試みた考査が妥当であることが認められる。

しかしながら大きいうす動粘性係数

を適確に推定するには今後更に検討する余地を多分に残してあるものと考えられる。

参考文献

- 5) 6) 中野、喜勝；水門による下部形状に関する実験的研究。④ 拡散条件；長崎集成館、コンシットコスタゲート模型実験。水力鉄道 1962.3

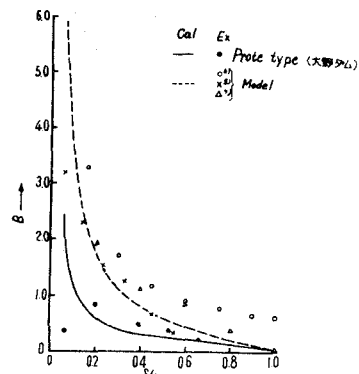


図1 $\beta - S/S_0$ の關係